

ÔXY HOÁ ĐIỆN HOÁ PHENOL TRÊN ANÔT TRƠ ÔXYT CHO XỬ LÝ NƯỚC THẢI

Nguyễn Ngọc Phong*, Phan Lương Cầm**, Đỗ Chí Linh*

* Viện Khoa học Vật Liệu, ** Trường Đại học Bách Khoa Hà Nội.

SUMMARY

The electrochemical oxidation of phenol for wastewater treatment was studied on RuO₂, IrO₂ and IrO₂-Sb₂O₃-SnO₂ anodes prepared by thermal decomposition method. The obtained results from Tafel measurements have shown that the oxygen evolution overpotential at (IrSb)SnO₂ was 500-600 mV higher than that at RuO₂ or IrO₂. The rate of phenol oxidation or the rate of chemical oxygen demand (COD) elimination was much higher for (IrSb)SnO₂ than for RuO₂ or IrO₂. The presence of NaCl catalyses the anodic oxidation of phenol only at IrO₂ due to the participation of ClO⁻ generated in electrolysis.

Tóm tắt

Ôxy hoá điện hoá phenol cho xử lý nước thải đã được nghiên cứu trên điện cực anôt RuO₂, IrO₂ và IrO₂-Sb₂O₃-SnO₂ được chế tạo từ phương pháp phân hủy nhiệt. Kết quả từ phép đo Tafel đã chỉ ra rằng quá thế giải phóng ôxy trên anôt (IrSb)SnO₂ cao hơn trên RuO₂ và IrO₂ từ 500-600 mV. Tốc độ ôxy hoá phenol hay tốc độ loại trừ nhu cầu ôxy hoá học (COD - chemical oxygen demand) trên (IrSb)SnO₂ cao hơn nhiều trên RuO₂ hoặc IrO₂. Sự có mặt của NaCl đã xúc tác quá trình ôxy hoá phenol chỉ xảy ra đối với điện cực IrO₂ do sự tham gia vào quá trình ôxy hoá của ClO⁻ được tạo ra trong quá trình điện phân.

1. Giới thiệu.

Càng ngày người ta càng nhận biết được và càng quan tâm đến những mối nguy hiểm của nước thải từ công nghiệp cũng như từ những nguồn nước thải khác trong cuộc sống. Nhiều nước đã đưa ra những giới hạn cho phép của những chất độc hại như các ion kim loại, ion xyanua và các hợp chất hữu cơ từ nước thải dân dụng, và từ các nhà máy hóa chất hoặc thực phẩm [1,2,3]. Để đạt được những giới hạn cho phép nhiều biện pháp xử lý cũng như kiểm tra theo dõi đã được áp dụng.

Các biện pháp xử lý nước thải có thể chia thành hai nhóm chính:

* Xử lý bằng vi sinh và bằng các kỹ thuật ôxy hoá hóa học hoặc điện hoá. Các biện pháp này làm sạch nước thực sự.

* Các biện pháp tách và cô đặc chuyển các chất ô nhiễm từ pha này sang pha khác để có thể tái sử dụng hoặc tái chế chúng.

Nhiều nước thải công nghiệp chứa những hợp chất hữu cơ mà các quá trình vi sinh không thể ôxy hoá xử lý hết được, đòi hỏi phải xử lý bằng hoá học hoặc điện hoá. Ôxy hoá điện hoá đã mở ra con đường cho việc xử lý nước thải chứa các chất hữu cơ độc hại. Ôxy hoá

điện hoá có thể ôxy hoá các chất hữu cơ độc hại khó bị phân huỷ bằng vi sinh như phenol thành những chất hữu cơ có thể phân huỷ bằng vi sinh hoặc ôxy hoá hoàn toàn thành CO_2 và nước [3].

Hiệu quả ôxy hoá phụ thuộc rất nhiều vào vật liệu anôt. Trong quá trình điện phân phản ứng phụ tạo thành ôxy có thể xảy ra và nó làm giảm hiệu suất ôxy hoá (diện thế tạo ôxy $E^\circ = 0,815 \text{ V}$ ở pH = 7). Việc sử dụng các vật liệu anôt có quá thế ôxy cao như PbO_2 , SnO_2 pha Sb_2O_3 đã làm tăng diện thế ôxy hoá [4,5,6]. Vì vậy để ôxy hoá những chất hữu cơ không ôxy hoá được bằng vi sinh cần có những anôt không những có quá thế ôxy cao, mà còn bền trong những môi trường nước thải khác nhau và luôn có tác dụng xúc tác điện hoá cho quá trình ôxy hoá. Những yêu cầu trên đối với anôt không dễ đáp ứng nên việc áp dụng phương pháp ôxy hoá điện hoá cũng còn bị hạn chế. Chính vì vậy việc nghiên cứu chế tạo những vật liệu anôt mới ngày càng được các nhà khoa học quan tâm.

Trong bài báo này nghiên cứu quá trình ôxy hoá phenol $\text{C}_6\text{H}_5\text{OH}$ trên một số vật liệu anôt ôxyt phủ trên nền titan: RuO_2 , IrO_2 và $\text{IrO}_2\text{-Sb}_2\text{O}_3\text{-SnO}_2$ và ảnh hưởng của chế độ điện phân đến hiệu suất ôxy hoá phenol.

2. Thực nghiệm.

Tạo mẫu: Mẫu Ti có kích thước $40 \times 10 \times 1 \text{ mm}$ và $\phi 15 \times 40 \text{ mm}$ được tẩy dầu mỡ và tẩy hoá học trong 10% axit oxalic trước khi tạo lớp phủ.

Các mẫu Ti sau khi đã sử lý như trên được nhúng trong dung dịch muối clorua tương ứng chứa các chất Ru, Ir hoặc Sn và Sb, làm khô mẫu đã được phủ ở nhiệt độ 70°C trong 10 phút, nung ở nhiệt độ 350°C trong 15 phút. Các bước trên được lặp lại nhiều lần để đạt được chiều dày mong muốn. Lớp cuối cùng được nung ở nhiệt độ 450°C trong thời gian 1 giờ. Chi tiết cách tạo mẫu tham khảo trong [7].

Dây dẫn được nối trực tiếp với nền Ti bằng keo bạc. Diện tích mẫu để đo điện hoá là 1 cm^2 , mẫu để điện phân là 20 cm^2 . Phần còn lại và dây dẫn được phủ bằng nhựa epoxy. Bình đo điện hoá là hệ ba điện cực. Điện cực phụ là điện cực platin. Điện cực so sánh là điện cực calomel bão hoà (SCE). Cầu agar và đầu Haber-Luggin được sử dụng để làm giảm tối đa sự sụt thế giữa điện cực làm việc và điện cực so sánh. Khoảng cách giữa đầu Luggin và điện cực làm việc khoảng 2 mm. Các phép đo điện hoá được thực hiện trên hệ thống đo điện hoá tự động CMS 100 của Mỹ và potentio-galvanostat - scan PGS 81 của Tây đức.

Phương pháp nghiên cứu:

- Phương pháp dòng tĩnh: Đường Tafel được xây dựng từ những giá trị điện thế ổn định ở những mật độ dòng khác nhau trong dung dịch $1\text{M H}_2\text{SO}_4$ để xác định quá thế giải phóng ôxy trên các vật liệu anôt.

- Điện phân: Dung dịch điện phân là $1\text{M Na}_2\text{SO}_4$ với dung tích là 140 cm^3 . Nồng độ phenol là 1g/l . pH dung dịch được điều chỉnh bằng NaOH đến 12. Ảnh hưởng của NaCl đến quá trình ôxy hoá được nghiên cứu với nồng độ 1, 5 và 20g/l . Mật độ dòng anôt phần lớn đo ở $0,07\text{A/cm}^2$, ở mật độ dòng này quá trình ôxy hoá xảy ra không quá chậm, nằm trong giới hạn cho phép về mặt kỹ thuật. Trong quá trình điện phân dung dịch được khuấy bằng khuấy từ và nhiệt độ là 30°C .

- Xác định hiệu suất dòng: Phương pháp đo nhu cầu ôxy hoá học (COD) được sử dụng để xác định hiệu suất dòng ôxy hoá phenol [8]. Trong phương pháp này COD được đo bằng máy Hach Dr/2001 ở từng thời điểm khác nhau trong quá trình điện phân và hiệu suất dòng tức thời ICE (Instantaneous Current Efficiency) được tính như sau:

$$\text{ICE} = \frac{[(\text{COD})_t - (\text{COD})_{t + \Delta t}]}{8I\Delta t} FV \quad (1)$$

trong đó $(\text{COD})_t$ và $(\text{COD})_{t + \Delta t}$ là nhu cầu ôxy hoá học ở thời gian t (s) và $t + \Delta t$ ($\text{g O}_2/\text{dm}^3$), I là dòng điện (A), F là hằng số Faraday (96487 C/mol) và V là thể tích dung dịch điện phân (dm^3).

ICE giảm dần theo thời gian điện phân đến giá trị cuối cùng gần như bằng không. Từ đường cong ICE - t có thể tính được giá trị trung bình và được định nghĩa là chỉ số ôxy hoá điện hoá EOI (Electrochemical Oxidation Index):

$$\text{EOI} = \frac{\int_0^\tau \text{ICE} dt}{\tau} \quad (2)$$

trong đó τ là khoảng thời gian điện phân đến khi ICE gần như bằng không ($\text{ICE} \approx 0,01$). EOI biểu diễn hiệu suất dòng trung bình và là thước đo khả năng ôxy hoá điện hoá phenol ở điều kiện thí nghiệm đã cho.

3. Kết quả và thảo luận.

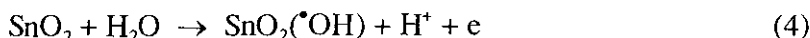
3.1. Quá trình giải phóng ôxy trên anôt.

Phản ứng giải phóng ôxy rất nhạy đối với sự thay đổi thành phần và cấu trúc bề mặt điện cực và rất quan trọng trong quá trình điện phân, nó là phản ứng phụ trong quá trình ôxy hoá phenol hoặc các chất hữu cơ khác và vì vậy làm giảm hiệu suất dòng.

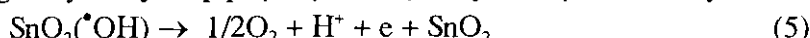
Các đường Tafel được xây dựng từ những giá trị điện thế ổn định khi điện cực được phân cực ở những mật độ dòng khác nhau trong dung dịch axit. Các đường Tafel của quá trình giải phóng ôxy trên các vật liệu anôt: RuO_2 , IrO_2 và $\text{SnO}_2\text{-Sb}_2\text{O}_3\text{-IrO}_2$ trong 1M H_2SO_4 được biểu diễn trên hình 1. Ở mật độ dòng 0,1 mA/cm² điện thế giải phóng ôxy trên điện cực SnO_2 được pha antimon và iridium là 1,7 V[SCE] cao hơn so với trên các điện cực truyền thống RuO_2 (1,20 V) và IrO_2 (1,25 V) (hình 1). Ở những mật độ dòng cao hơn độ chênh lệch của quá thế giải phóng ôxy trên điện cực $(\text{IrSb})\text{SnO}_2$ so với RuO_2 hoặc IrO_2 càng cao, do độ dốc Tafel cao hơn. Hệ số Tafel của quá trình giải phóng ôxy trên các điện cực được biểu diễn trên hình 2. Hệ số Tafel của anôt $(\text{IrSb})\text{SnO}_2$ cao (160 mV) chứng tỏ phản ứng giải phóng ôxy trên anôt này khó xảy ra. Điện thế bắt đầu thoát ôxy trên $(\text{IrSb})\text{SnO}_2$ gần với điện thế ôxy hoá khử $\text{H}_2\text{O}_2/\text{H}_2\text{O}$ (1,77 V_{NHE}) [9]:



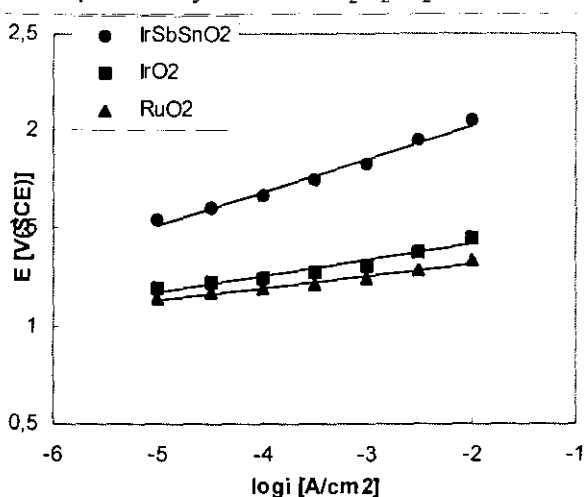
Do đó cơ chế thoát ôxy được gọi là cơ chế “peroxide”. Bước đầu tiên các gốc hydroxyl $\cdot\text{OH}$ được tạo thành và hấp phụ trên bề mặt:



Tiếp theo các gốc hydroxyl hấp phụ này sẽ được ôxy hoá tạo thành ôxy:



Để chứng minh sự tồn tại của gốc hydroxyl người ta sử dụng N,N-dimethyl-p-nitroaniline như là chất bẫy spin, nó kết hợp với gốc $\cdot\text{OH}$ không bền vững thành một gốc bền vững hơn. Bằng cách trên đã tìm thấy gốc $\cdot\text{OH}$ tồn tại trên bề mặt điện cực SnO_2 dưới sự phân cực anôt [10]. Do không có những ion kim loại ở trạng thái ôxy hoá cao hơn trong cấu trúc ôxyt nên các gốc hydroxyl sẽ hấp phụ yếu trên bề mặt và chúng chỉ ôxy hoá tiếp để tạo thành ôxy ở điện thế cao hơn điện thế ôxy hoá khử $\text{H}_2\text{O}_2/\text{H}_2\text{O}$.



Hình 1: Đường Tafel của phản ứng giải phóng ôxy trên các điện cực khác nhau trong 1M H_2SO_4 .
Hình 2: Hệ số Tafel của phản ứng giải phóng ôxy. từ hình 1.

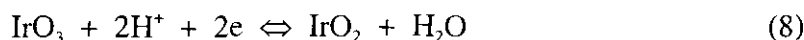
Đối với các ôxyt kim loại có các điểm hoạt hoá điện hoá (diễn hình như RuO_2 và IrO_2) chúng hoạt hoá xúc tác cho phản ứng giải phóng ôxy. Những gốc hydroxyl hấp phụ có thể tương tác với các ion kim loại trong mạng tinh thể ôxyt và ôxy hoá chúng đến trạng thái ôxy hoá cao hơn [5]. Ví dụ như đối với IrO_2 :



Trạng thái ôxyt bậc cao này không bền vững và sẽ phân huỷ để tạo thành ôxy:

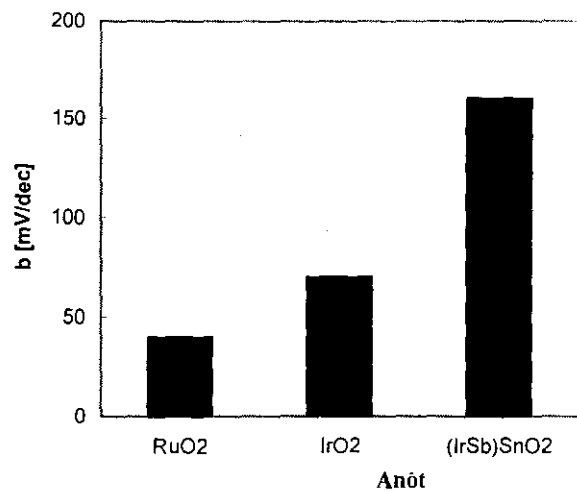


Do đó điện thế thoát ôxy trên những điện cực này thấp, gần với điện thế ôxy hoá khử của cặp $\text{IrO}_3/\text{IrO}_2$:



3.2. Ảnh hưởng của vật liệu anôt đến khả năng ôxy hoá phenol.

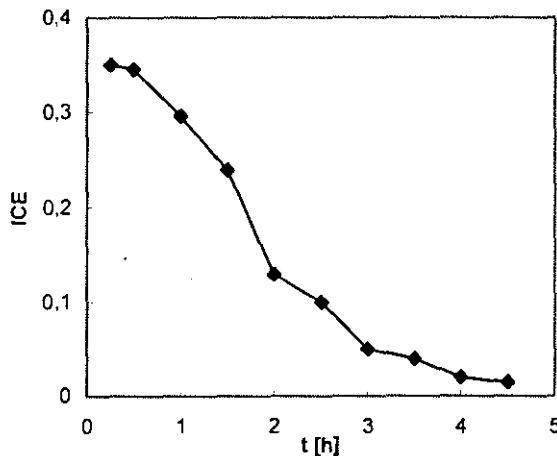
Khả năng ôxy hoá phenol đã được khảo sát thông qua việc đo nhu cầu ôxy hoá học COD. Hiệu suất dòng tức thời ICE giảm dần theo thời gian điện phân và đạt giá trị cuối cùng gần bằng không như hình 3. Hình 4 biểu diễn sự phụ thuộc của EOI hay là hiệu suất ôxy hoá phenol vào vật liệu điện cực. Kết quả cho thấy EOI của ôxy hoá anôt phenol trên anôt $(\text{IrSb})\text{SnO}_2$ cao hơn hẳn trên các anôt RuO_2 và IrO_2 . Như chúng ta đã biết phản ứng giải phóng ôxy là phản ứng phụ cạnh tranh với phản ứng ôxy hoá các chất hữu cơ trên điện cực. Hiệu suất



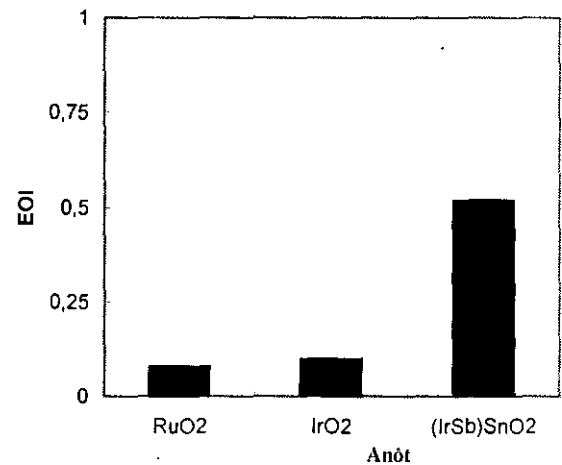
ôxy hoá thấp đối với anôt RuO₂ và IrO₂ là do dòng điện chủ yếu bị tiêu thụ cho phản ứng giải phóng ôxy:



Ngược lại, do anôt (IrSb)SnO₂ có quá thế ôxy cao nên quá trình giải phóng ôxy trên bề mặt anôt này giảm và như vậy làm tăng EOI hay hiệu suất dòng loại trừ COD của nước thải và nó sẽ có triển vọng ứng dụng về mặt kỹ thuật.



Hình 3: Sự phụ thuộc ICE vào thời gian ôxy hoá điện của ôxy hoá phenol trên (IrSb)SnO₂ trong 1M Na₂SO₄, mật độ dòng là 0,07 A/cm², pH = 12.

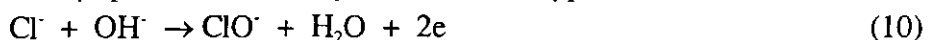


Hình 4: Ảnh hưởng của vật liệu anôt đến EOI hoá phenol trong 1M Na₂SO₄ ở mật độ dòng là 0,07 A/cm², pH = 12.

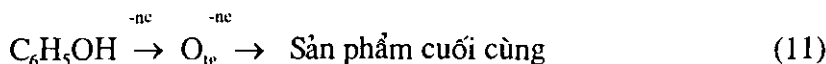
3.3. Ảnh hưởng của NaCl.

Một số thử nghiệm đã được tiến hành để đánh giá ảnh hưởng của NaCl đến khả năng ôxy hoá phenol trên IrO₂ và (IrSb)SnO₂. Một trong những kết quả được biểu diễn trên hình 5. Các kết quả cho thấy rằng khi có mặt của NaCl tốc độ loại trừ COD tăng lên rất nhiều so với khi không có mặt NaCl nếu như sử dụng anôt IrO₂. Trong khi đó đối với anôt (IrSb)SnO₂ ảnh hưởng của NaCl không đáng kể. Khả năng loại trừ COD không phụ thuộc vào nồng độ của NaCl trong dung dịch.

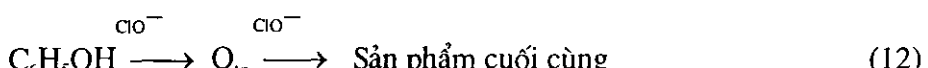
Trong khi điện phân, Cl⁻ được ôxy hoá tạo thành hypochlorit ClO⁻:



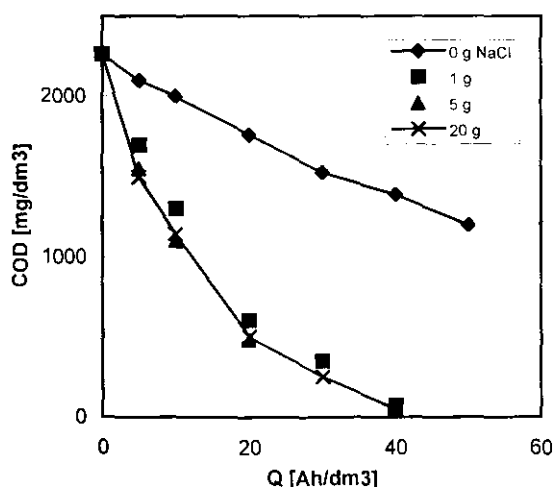
Như vậy có hai khả năng ôxy hoá phenol khi dung dịch có mặt của NaCl. Ôxy hoá trực tiếp phenol và các sản phẩm ôxy hoá trung gian (O_{tg}) có thể xảy ra trên bề mặt anôt:



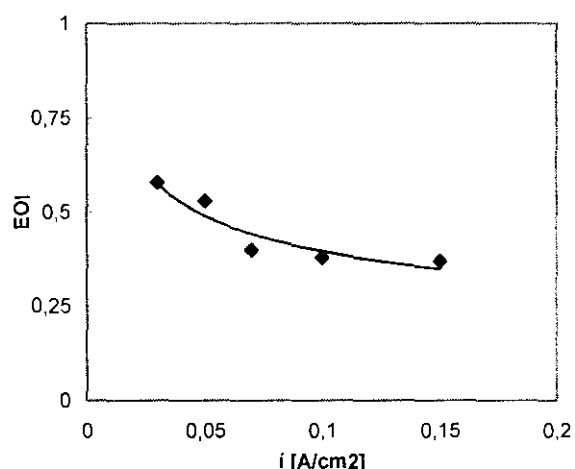
và ôxy hoá gián tiếp bằng ClO⁻ xảy ra trong dung dịch:



Sản phẩm cuối cùng có thể là những chất hữu cơ ít độc hại mạch thẳng hoặc đến sản phẩm cuối cùng là CO₂ và nước.



Hình 5: Ảnh hưởng của nồng độ NaCl đến nhu cầu ôxy hóa học (COD) trong 1M Na_2SO_4 có và không có NaCl. Anôt IrO_2 và mật độ dòng là $0,07\text{A/cm}^2$.



Hình 6: Ảnh hưởng của mật độ dòng đến EOI của ôxy hóa phenol trên anôt $(\text{IrSb})\text{SnO}_2$ trong 1M Na_2SO_4 .

Có thể so sánh với ôxy hóa hóa học khi phenol được ôxy hóa bằng NaClO tạo thành các sản phẩm trung gian [9]. Khả năng ôxy hóa phenol không phụ thuộc vào nồng độ NaCl, như vậy NaCl chỉ có tác dụng xúc tác thông qua ClO^- được tạo thành. Hơn nữa, NaCl không có tác dụng rõ rệt đối với anôt $(\text{IrSb})\text{SnO}_2$. Khi phản ứng xảy ra trên bề mặt điện cực này, phản ứng như phản ứng (6) không xảy ra. Các gốc hydroxyl có hoạt tính cao tác dụng với các phân tử phenol, có thể với các nguyên tử carbon khác nhau, dẫn đến phá vỡ mạch vòng tạo thành các chất trung gian hoặc ôxy hóa hoàn toàn thành CO_2 và nước. Vấn đề này cần được nghiên cứu tiếp.

3.4. Ảnh hưởng của mật độ dòng.

Mật độ dòng khảo sát nằm trong giới hạn cho phép về kỹ thuật là 0,03 đến 0,15 A/cm^2 . Nhiệt độ làm việc ở 30°C . Hình 6 biểu diễn ảnh hưởng của mật độ dòng anôt đến EOI của phản ứng ôxy hóa anôt phenol trên điện cực $(\text{IrSb})\text{SnO}_2$. Kết quả cho thấy, mật độ dòng tăng làm giảm nhẹ giá trị EOI, tức là làm giảm hiệu suất ôxy hóa phenol. Khi mật độ dòng tăng, điện thế điện cực cũng tăng lên và lượng ôxy được giải phóng ít nhiều cũng tăng hơn. Hơn nữa quá trình ôxy hóa có thể bị khống chế bởi quá trình vận chuyển khối lượng các chất hữu cơ đến bề mặt điện cực. Với nồng độ phenol ban đầu là 1g/l, lượng các chất hữu cơ được vận chuyển đến bề mặt có thể không đủ cho ôxy hóa ở mật độ dòng cao. Những thử nghiệm này định hướng cho việc ứng dụng trong lĩnh vực kỹ thuật xử lý nước.

4. Kết luận.

Hiệu suất ôxy hóa phenol cho xử lý nước thải phụ thuộc nhiều vào vật liệu anôt và điều kiện điện phân. Vật liệu anôt $(\text{IrSb})\text{SnO}_2$ có hiệu suất dòng cao hơn hẳn những vật liệu ôxyt kim loại truyền thống RuO_2 và IrO_2 do có quá thế ôxy cao. Cơ chế giải phóng ôxy trên hai loại vật liệu trên cũng khác nhau. Sự có mặt của NaCl xúc tác ôxy hóa phenol đối với điện cực anôt IrO_2 . Chức năng xúc tác của NaCl là do ClO^- được tạo thành tham gia vào quá trình ôxy hóa

phenol. Nồng độ NaCl không ảnh hưởng đến tốc độ loại trừ COD, còn mật độ dòng tàng làm giảm nhẹ EOI trong khoảng mật độ dòng nghiên cứu.

TÀI LIỆU THAM KHẢO.

1. J. Cibulka et al, Circulation of lead, cadmium and mercury in the biosphere, Academia, Prague 1991.
2. M. Ptácek et al, Purification of waste waters from metal plating and finishing, Technical literature, Prague 1981.
3. O.J. Murphy, G.D. Hitchens, L. Kaba, Direct electrochemical oxidation of organics for wastewater treatment, Wat. Res., 26, 443 (1992).
4. D. Pavlov and B. Monahov, Temperature dependence of the oxygen evolution reaction on the Pb/PbO₂ electrode, J. Electrchem. Soc., 145, 70 (1998).
5. B.C. Lozano, Ch. Comninellis and A. De Battisti, Electrochemical properties of Ti/SnO₂-Sb₂O₃ electrodes prepared by the spray pyrolysis technique, J. Appl. Electrochem., 26, 683 (1996).
6. L. Gherardini et al, Electrochemical oxidation of 4-chlorophenol for wastewater treatment, J. Electrchem. Soc., 148, D78 (2001).
7. Nguyễn Ngọc Phong và Phan Lương Cầm, Nghiên cứu điện cực anode titan phủ ôxyt kim loại ứng dụng trong điện thám phân để xử lý nước, Hội nghị khoa học lần thứ 19, ĐHBKHN, 42 (10-2001).
8. Ch. Comninellis, Electrochemical oxidation of organic pollutants for wastewater treatment, Environmental oriented electrochemistry, 77 (1994).
9. Ch. Comninellis, Electrocatalysis in the electrochemical conversion/combustion of organic pollutants for waste water treatment, Electrochim. Acta 39, 1857 (1994).
10. G.D. Hitchens, O.J. Murphy, L.Kaba and C.E. Verostko, Selective removal of organics for water reclamation, 20th Intersociety conference on environmental systems (1990).